

Utilisation des groupes en géométrie.

Dans les parties I et II,  $E$  est toujours un  $\mathbb{R}$ -espace vectoriel de dimension finie  $n$ .

### I/ Géométrie affine

#### 1) Le groupe affine

Def 1: On appelle espace affine un ensemble  $E$  sur lequel le groupe  $(E, +)$  agit à droite, transitivement et librement. On note  $\pi, \nu, \dots$  les points, qui sont des éléments de  $E$ , et  $\vec{x}, \vec{y}, \dots$  les vecteurs, qui sont des éléments de  $E$ .

Prop 2: les translations  $t_{\vec{x}}: \pi \mapsto \pi + \vec{x}$  forment un sous-groupe du groupe  $S_E$  des bijections de  $E$  sur  $E$ , isomorphe à  $E$ .

Def 3: Soient  $E$  et  $E'$  deux  $\mathbb{R}$ -espaces vectoriels,  $\mathcal{E}$  et  $\mathcal{E}'$  deux espaces affines sur  $E$  et  $E'$  resp.  $f: \mathcal{E} \rightarrow \mathcal{E}'$  est une application affine s'il existe  $v_f: E \rightarrow E'$  linéaire telle que  $\forall \pi \in \mathcal{E}, \forall \vec{x} \in E, f(\pi + \vec{x}) = f(\pi) + v_f(\vec{x})$ , soit  $\forall \vec{x} \in E, f \circ t_{\vec{x}} = t_{v_f(\vec{x})} \circ f$ .

Def et prop 4: les automorphismes de  $E$  forment un groupe pour la composition, noté  $\text{Aut}(E)$  et nommé groupe affine de  $E$ .

Prop 5:  $\nu: \text{Aut}(E) \rightarrow \text{GL}(E)$ ,  $f \mapsto v_f$  est un morphisme surjectif de groupes, de noyau l'ensemble  $T$  des translations de  $E$ , sous-groupe commutatif distingué de  $\text{Aut}(E)$ .

#### 2) Sous-groupe des homothéties

Def et prop 6: Pour tout  $A \in E$  et tout  $\lambda \in \mathbb{R}^*$ ,  $h: \pi \mapsto A + \lambda A\pi$  est une application affine, nommée homothétie de centre  $A$  et de rapport  $\lambda$ , qui vérifie  $v_h = \lambda \text{Id}_E$ .

Prop 7: Soit  $H = \{f \in \text{Aut}(E) / \exists \lambda \in \mathbb{R}^*, v_f = \lambda \text{Id}_E\}$ .  $H$  est un sous-groupe distingué de  $\text{Aut}(E)$ ; en outre,  $T$  est un sous-groupe distingué de  $H$ , et pour tout  $A \in E$ , le groupe  $H_A$  des homothéties de centre  $A$  est un sous-groupe de  $H$ .  
Appli 8: théorème de Pappus (cf figure 1)

#### 3) Orientation d'un espace affine

Def 3: Un système  $(O, \vec{e}_1, \dots, \vec{e}_n)$ , formé d'un point  $O$  de  $E$  et d'une base  $(\vec{e}_1, \dots, \vec{e}_n)$  de  $E$ , est appelé repère cartésien de  $E$ .

Prop 10: Une application affine  $f: E \rightarrow E$  préserve un repère de  $E$  si et seulement si elle est égale à l'application identité.

Thm 11:  $E$  est isomorphe à l'espace affine canonique  $E_n(\mathbb{R})$  défini par  $E = E$  et l'action par translation.

Def 12: Deux repères cartésiens  $R$  et  $R'$  sont de même orientation si et seulement si l'unique isomorphisme affine  $f$  de  $E$  qui envoie  $R$  sur  $R'$  vérifie  $\det(v_f) > 0$ .

Thm 13: Pour une orientation de  $E$  déterminée par le choix d'un repère  $R$ , l'ensemble  $(\text{Aut}(E))^+$  des automorphismes affines directs de  $E$ , qui est l'ensemble des éléments  $f$  de  $\text{Aut}(E)$  tels que  $R$  et  $f(R)$  ont même orientation, est un sous-groupe distingué d'indice 2 de  $\text{Aut}(E)$ .

### II/ Géométrie euclidienne

#### 1) Espace euclidien et groupe des isométries

Def 14: On appelle espace euclidien de dimension  $n$  un espace affine  $E$  sur un espace vectoriel euclidien  $E$  de dimension  $n$ .

EST-SOF UO31

Leon 144-1201 CAUDS

CCRF 107-1327

[PER 153-154] [PER 225-143] [PER 156] [COON 165]

Def 15: On appelle endomorphisme orthogonal de  $E$  un endomorphisme  $v \in GL(E)$  qui vérifie:  
 $\forall z \in E, \|v(z)\| = \|z\|$ .

Thm 16: L'ensemble  $O(E)$  des endomorphismes orthogonaux de  $E$  est un sous-groupe de  $GL(E)$ , appelé groupe orthogonal de  $E$ .

Thm 17:  $O(E)$  est engendré par les réflexions orthogonales, et tout élément de  $O(E)$  est produit d'un plus  $n$  réflexions.

Ex 18: Une translation est produit de deux réflexions.

Def 19: On appelle renversement de  $E$  une symétrie de  $E$  dont le sous-espace propre  $E_{-1}$  est de dimension 2.

Ex 20: Les renversements de  $\mathbb{R}^3$  sont les rotations axiales.

Thm 21: En dimension 3,  $SO(E)$  est engendré par les renversements.

Thm 22: Soient  $E$  et  $E'$  deux espaces euclidiens de même dimension,  $(A, \vec{e}_1, \dots, \vec{e}_n)$  un repère ortho-normal de  $E$ ,  $f: E \rightarrow E'$  une application affine. Les conditions suivantes sont équivalentes:

- (i)  $f$  est isométrique
- (ii)  $v_f$  est orthogonale
- (iii)  $(f(A), v_f(\vec{e}_1), \dots, v_f(\vec{e}_n))$  est un repère ortho-normal de  $E'$

Co 23:  $E$  est isomorphe à l'espace euclidien canonique  $E_n(\mathbb{R})$ , où  $\mathbb{R}^n$  est muni du produit scalaire canonique.

2) Les groupes diédraux

Def 24: Soit  $P_n$  un polygone régulier convexe à  $n$  sommets dans  $E_2(\mathbb{R})$ . On nomme groupe diédral d'ordre  $n$  et on note  $D_n$  le groupe des isométries de  $E_2(\mathbb{R})$  qui laissent  $P_n$  invariant.

Prop 25:  $D_n = \langle r, s \rangle$  où  $r$  est la rotation d'angle  $\frac{2\pi}{n}$  et  $s$  la symétrie par rapport à la droite passant par un sommet de  $P_n$  et le sommet opposé si  $n$  est pair le milieu du côté opposé si  $n$  est impair (cf figure 2). On a  $r^n = s^2 = (sr)^2 = 1$ .

Rmq 26: En particulier,  $D_3 \cong S_3$ .

3) Isométries des solides de Platon

Thm 27: Soit  $T$  tétraèdre régulier dans  $E_3(\mathbb{R})$ ,  $Is(T)$  le groupe des isométries qui préservent  $T$ ,  $Is^+(T)$  le groupe des isométries positives qui préservent  $T$ . On a:

$Is(T) \cong S_4$  ;  $Is^+(T) \cong A_4$

Pour  $K$  cube dans  $E_3(\mathbb{R})$ , avec les mêmes notations:

$Is(K) \cong S_4 \times \mathbb{Z}/2\mathbb{Z}$  ;  $Is^+(K) \cong S_4$

DÉV 1

Prop 28: Tout sous-groupe fini d'ordre  $n \geq 2$  du groupe des déplacements de  $E_3(\mathbb{R})$  est isomorphe à  $U_n$ , à  $D_{n/2}$  ( $n$  étant alors pair), ou à  $A_4$ ,  $S_4$  ou  $A_5$ .

4) Quaternions et géométrie

Def 29: On note  $\mathbb{H}$  la  $\mathbb{R}$ -algèbre de dimension 4, nommée algèbre des quaternions, munie d'une base  $1, i, j, k$  telle que:

- (i)  $1$  est neutre pour la multiplication;
- (ii)  $i^2 = j^2 = k^2 = -1$ ;  $ij = -ji = k$ ;  $jk = -kj = i$ ;  $ki = -ik = j$ .

Def 30: Soit  $q = a + bi + cj + dk \in \mathbb{H}$ . On définit le conjugué  $\bar{q}$  de  $q$  par:  $\bar{q} = a - bi - cj - dk$ , et la norme  $N(q)$  de  $q$  par  $N(q) = q\bar{q} = a^2 + b^2 + c^2 + d^2$ .

Prop 31:  $\forall q \in \mathbb{H}, N(q) \in \mathbb{R}^+$ .

[2117] [PER 362-364] [COON 171] [PER 361-164]

Prop 32:  $N$  est une forme quadratique euclidienne sur  $H$ . La base  $(1, i, j, k)$  est orthonormée relativement à  $N$ , et la conjugaison est une symétrie orthogonale d'espaces réels  $R$  et  $P = \{bi + cj + dk \mid (b, c, d) \in \mathbb{R}^3\}$ .

Th 33:  $H$  est un corps non commutatif de centre  $R$ , et  $N: H^* \rightarrow R^*$  est un morphisme de groupes surjectif de noyau  $G$ , le groupe des quaternions de norme 1.

Rmq 34:  $G \cong S^3$ ; en particulier,  $G$  est connexe.

Thm 35: On a un isomorphisme de groupes

$$\mathbb{S}: G / \{ \pm 1 \} \xrightarrow{\text{DEV 2}} SO_3(\mathbb{R})$$

Rmq 36: les quaternions fournissent donc un outil algébrique pour représenter les rotations dans l'espace (utilisé en simulation 3D).

## II/ Droites projectives

1) Espaces projectifs et homographies  
On considère ici  $K = \mathbb{R}$  ou  $\mathbb{C}$ , et  $E$  et  $E'$  deux  $K$ -espaces vectoriels de dimension finie.

Def 37: On nomme espace projectif déduit de  $E$  et on note  $P(E)$  l'ensemble des droites vectorielles de  $E$ , soit  $E \setminus \{0\}$  quotienté par la relation de colinéarité. Par définition,  $\dim(P(E)) = \dim(E) - 1$ . En particulier, on note  $P_2(K) = P(K^2)$  la droite projective sur  $K$ .

Rmq 38: On peut considérer  $P_2(K)$  comme une droite affine de  $K^2$  complétée par un point à l'infini (cf figure 3).

Def 39: Soient  $p: E \setminus \{0\}$  et  $p': E' \setminus \{0\}$  les deux projections. On appelle homographie une application  $g: P(E) \rightarrow P(E')$  telle qu'il existe un isomorphisme linéaire  $f: E \rightarrow E'$  rendant le

diagramme suivant commutatif:

$$\begin{array}{ccc} E \setminus \{0\} & \xrightarrow{f} & E' \setminus \{0\} \\ p \downarrow & & \downarrow p' \\ P(E) & \xrightarrow{g} & P(E') \end{array}$$

Prop et def 40: L'ensemble des homographies de  $P(E)$  forment le groupe projectif  $GP(E)$  de  $E$ .

Cor 41:  $GP(E) \cong GL(E) / H$ .

Appli 42: théorème de Pappus généralisé (cf figure 4).

## 2) Droite projective complexe et biappart

Prop 43: Toute homographie de  $P_2(\mathbb{C})$  s'écrit  $z \mapsto az + b$  avec  $ad - bc \neq 0$ , et avec les conventions habituelles  $1/\infty = 0$ ;  $1/0 = \infty$ .

Def 44: L'image de  $d \in P_2(\mathbb{C})$  par l'unique homographie  $P_2(\mathbb{C}) \rightarrow \mathbb{C} \cup \{\infty\}$  qui envoie  $a$  sur  $a$ ,  $b$  sur  $0$  et  $c = \pm$  est nommée biappart de  $(a, b, c, d)$  et notée  $[a, b, c, d]$ .

Prop 45: Soient  $a, b, c, d$  quatre points de  $P_2(\mathbb{C})$  dont les trois premiers sont distincts, alors:

$$[a, b, c, d] = \frac{d-b}{d-a} / \frac{c-b}{c-a}$$

Prop 46: le groupe  $GP(\mathbb{C}^2)$  est engendré par les similitudes directes  $z \mapsto az + b$  ( $a \neq 0$ ) et  $z \mapsto z + \frac{1}{2}$ .

Prop 47: Quatre points de  $\mathbb{C}$  sont alignés ou cocycliques si et seulement si leur biappart est réel.

Cor 48: Toute homographie de  $P_2(\mathbb{C})$  transforme un cercle ou une droite de  $\mathbb{C}$  en un cercle ou une droite de  $\mathbb{C}$ .

Thm 49: Soit  $a, b, c, d, a', b', c', d'$  huit points distincts de  $\mathbb{C}$ , alors

Appli 50: Pivot d'un triangle (cf figure 5).

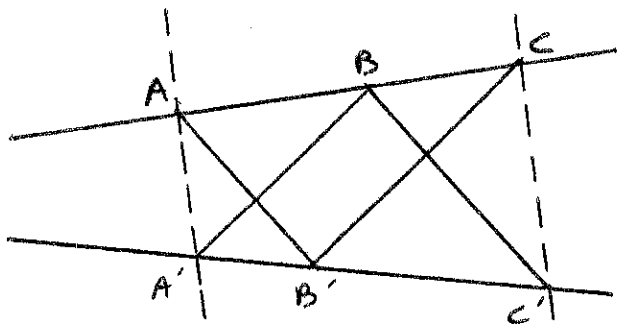


Figure 1: théorème de Pappus.

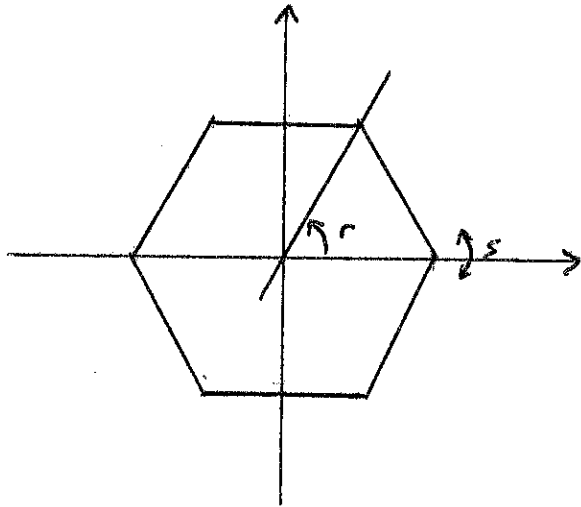


Figure 2: générateurs de  $D_6$ .

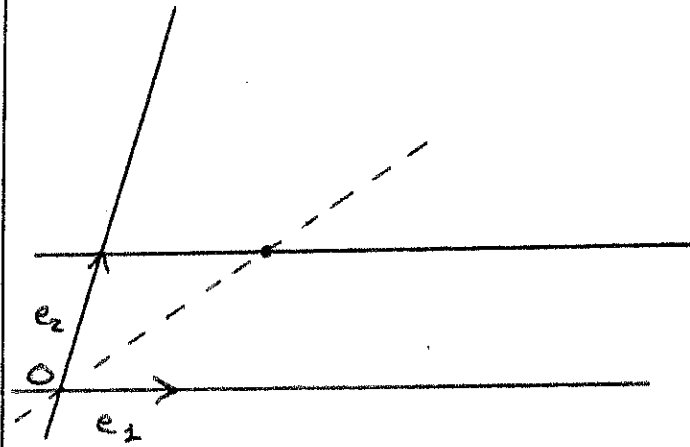


Figure 3:  $P_2(K)$  considéré comme la droite  $y=1$ , complétée par un point à l'infini sur lequel se projette la droite  $(O, \vec{e}_2)$ .

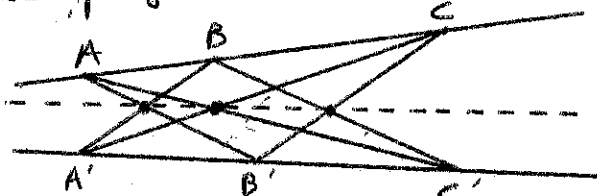


Figure 4: théorème de Pappus généralisé.

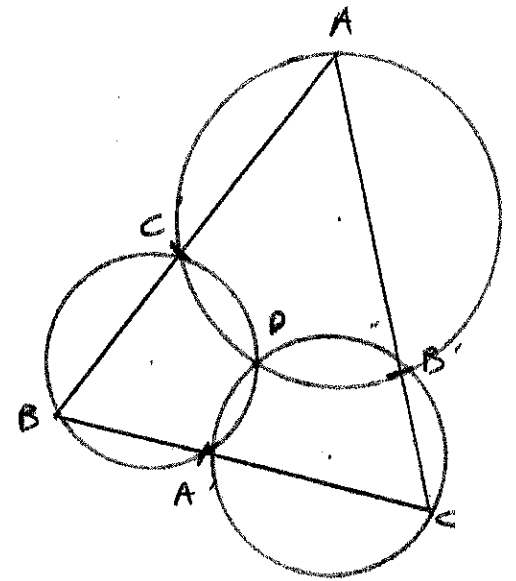


Figure 5: Pivot.

## RÉFÉRENCES

- [AUD] Nichèle Audin, "Géométrie", EPP Sciences, 2009
- [COM] François Combes, "Algèbre et géométrie", Brial Éditions, 1998
- [HZGZ] Philippe Caldero et Jérôme Germoni, "Histoires hédonistes de groupes et de géométries, Tome premier", Calvage & Pouyet, 2013
- [PER] Daniel Perrin, "Cours d'algèbre", Ellipses, 2008

## Isomorphisme exceptionnel:

Théorème: Soit  $G$  le groupe des quaternions de norme 1. On a un isomorphisme  $\bar{\alpha}: G/\{\pm 1\} \xrightarrow{\sim} SO_3(\mathbb{R})$

démonstration:

Rappel: Soit  $(q_1, q_2) \in \mathbb{H}^2$ ,  $\overline{q_1 q_2} = \overline{q_2} \overline{q_1}$ ,  $N(q_1) = q_1 \overline{q_1}$ ,  $N(q_1 q_2) = N(q_1) N(q_2)$  et  $q_1^{-1} = \frac{1}{N(q_1)} \overline{q_1}$ .

0)  $\mathbb{H}$  est non commutatif donc  $\mathbb{H}^*$  opère sur  $\mathbb{H}$  par automorphismes intérieurs de façon non trivial. On peut se restreindre à l'action de  $G$  sur  $\mathbb{H}$ , car si  $q \in \mathbb{H}^*$ , il s'écrit  $q = \lambda g$  avec  $\lambda = \sqrt{N(q)} \in \mathbb{R}$  et  $g \in G$  et comme  $\mathbb{R}$  est central dans  $\mathbb{H}$ , il ne donne rien dans les automorphismes intérieurs. On pose donc pour  $g \in G$ :

$$S_g: \begin{cases} \mathbb{H} \longrightarrow \mathbb{H} \\ q' \longmapsto q q' q^{-1} = q q' \overline{q} \end{cases}$$

Nous allons étudier cette action et montrer qu'elle donne une paramétrisation du groupe  $SO_3(\mathbb{R})$  par le groupe  $G$ .

1) L'application  $S_g: \mathbb{H} \longrightarrow \mathbb{H}$  est  $\mathbb{R}$ -linéaire et vérifie:

$$S_g \circ S_g(q') = \overline{q} q \overline{q'} \overline{q} \overline{q} = \underbrace{N(q)}_{=1} q' \underbrace{N(q)}_{=1} = q', \quad \forall q \in G, \forall q' \in \mathbb{H}.$$

Donc  $S_g \circ S_g = \text{id}_{\mathbb{H}}$ . En identifiant  $\mathbb{H}$  à  $\mathbb{R}^4$ , on a l'application:

$$S: \begin{cases} G \longrightarrow GL_4(\mathbb{R}) \\ g \longmapsto S_g \end{cases}$$

2) Montrons que  $S$  est un homomorphisme et que  $\text{Ker}(S) = \{\pm 1\}$ :

Soit  $(q_1, q_2) \in G^2$ ,  $S_{q_1 q_2}(q') = q_1 q_2 q' \overline{q_1 q_2} = q_1 q_2 q' \overline{q_2} \overline{q_1} = S_{q_1} \circ S_{q_2}(q') \quad \forall q' \in \mathbb{H}$ .

Calculons le noyau: Soit  $g \in G$  tel que  $S_g = \text{id}_{\mathbb{R}^4}$  alors  $q q' \overline{q} = q' \quad \forall q' \in \mathbb{H}$  donc  $q q' = q' q \quad \forall q' \in \mathbb{H}$ . Ainsi  $q \in Z(\mathbb{H}) \cap G$ , où  $Z(\mathbb{H})$  est le centre de  $\mathbb{H}$ , c'est-à-dire  $q \in \{\pm 1\}$ .

3) Soit  $g \in G$  et  $a \in \mathbb{R}$ :  $S_g(a) = q a q^{-1} = a q q^{-1} = a$  donc  $S_g|_{\mathbb{R}} = \text{id}_{\mathbb{R}}$ .

4) La norme  $N(q) = q \overline{q} = \overline{q} q$  est une forme quadratique réelle définie positive sur  $\mathbb{H}$ , de forme bilinéaire associée  $\langle q, q' \rangle = \frac{1}{2} (q \overline{q'} + q' \overline{q})$ .  $(\mathbb{H}, N)$  est ainsi un  $\mathbb{R}$ -em de dimension 4 et  $(1, i, j, k)$  en est une base orthonormée.

Montrons que  $S_g \in O(N) \simeq O_4(\mathbb{R}) \quad \forall g \in G$ :

Soit  $g \in G$  et  $q' \in \mathbb{H}$ :  $N(S_g(q')) = N(q q' \overline{q}) = \underbrace{N(q)}_{=1} N(q') \underbrace{N(\overline{q})}_{=1} = N(q')$

Donc  $S_g$  est un élément du groupe orthogonal euclidien défini par  $N$ . Ainsi  $S: G \longrightarrow O_4(\mathbb{R})$ .

5) Montrons que  $\mathbb{P}$ , l'ensemble des quaternions purs, est stable par  $S_q, \forall q \in G$ :

-) Pour  $N, \mathbb{P}$  est l'orthogonal de  $\mathbb{R}$ . En effet  $\langle p, r \rangle = 0 \forall p \in \mathbb{P}, r \in \mathbb{R}$  et si  $p \in \mathbb{H}$  vérifie  $\langle q, r \rangle = 0 \forall r \in \mathbb{R}$  alors  $q + \bar{q} = 0$  donc  $N(q) = q\bar{q} = -q^2$  et  $q^2 \in \mathbb{R}$  ce qui entraîne que  $p \in \mathbb{P}$  par caractérisation des quaternions purs.

-) On a montré qu'à  $q \in G$  fixé,  $S_q$  laisse stable  $\mathbb{R}$ , que  $S_q \in O(N)$  et que  $\mathbb{P} \perp_N \mathbb{R}$  donc  $S_q$  laisse  $\mathbb{P}$  stable.

On pose alors  $s_q = S_q|_{\mathbb{P}}$ , on a  $s_q \in O(N|_{\mathbb{P}}) \cong O_3(\mathbb{R})$  et :

$$s: G \longrightarrow O_3(\mathbb{R}) \quad \text{et un homomorphisme de noyau } \{-1, 1\}$$

$$q \longmapsto s_q$$

6) Munissons  $O_3(\mathbb{R})$  de sa topologie naturelle obtenue en le considérant comme sous-ensemble de  $\mathcal{M}_3(\mathbb{R})$ , lui-même identifié à  $\mathbb{R}^9$ . L'application  $s$  est alors continue, comme on le voit en calculant la matrice de  $s_q$  dans la base  $i, j, k$ . En effet, si  $q = a + bi + cj + dk$ , les coefficients de la matrice sont des polynômes homogènes de degré 2 en  $a, b, c, d$ . Par exemple:

$$s_q(i) = q i \bar{q} = (a + bi + cj + dk) i (a + bi + cj + dk) = (a + bi + cj + dk)(a + b^2 - ck + dj)$$

$$= a^2 i + ab - ack + adj - ab + b^2 i + bcj + bdk - ack + bcj - c^2 i - cd + adj + bdk + cd i$$

$$D'où  $s_{q11} = a^2 + b^2 - c^2 - d^2$ ,  $s_{q21} = 2(ad + bc)$ ,  $s_{q31} = 2(bd - ac)$  ...$$

Mais, le déterminant,  $\det: O_3(\mathbb{R}) \longrightarrow \{-1, 1\}$  est lui aussi une application continue. Or si l'on identifie  $\mathbb{H}$  à  $\mathbb{R}^4$  muni de sa topologie naturelle, on voit que  $G$  est homéomorphe à  $S^3$  et en particulier connexe.

Donc l'image de  $G$  par  $\det \circ s$  est connexe, donc un singleton, et comme  $s(1) = \text{id}_{\mathbb{R}^3}$ , c'est nécessairement  $\{+1\}$ . Autrement dit  $s(G) \subset SO_3(\mathbb{R})$ .

7) Montrons enfin que  $s(G) = SO_3(\mathbb{R})$ :

Soit  $p \in \mathbb{P} \cap G$ . On calcule  $s_p(p) = p p \bar{p} = p$ , donc  $s_p$  fixe  $p$  et est une rotation d'axe  $p$ .

D'autre part, comme  $p \in \mathbb{P} \cap G$ , on a  $\bar{p} = -p$  donc  $p^2 = -p\bar{p} = -1$  et  $(s_p)^2 = s_{p^2} = s_{-1} = \text{id}_{\mathbb{R}^3}$ , donc  $s_p$  est une involution.

$s_p$  est donc le renversement d'axe  $\langle p \rangle$ . On obtient ainsi tous les renversements de  $SO_3(\mathbb{R})$ , et comme ils engendrent le groupe, on a bien  $s(G) = SO_3(\mathbb{R})$ .

Finalement, d'après le premier théorème d'isomorphisme, on a :

$$G / \{-1, 1\} \cong SO_3(\mathbb{R})$$

## Isométries du cube et du tétraèdre:

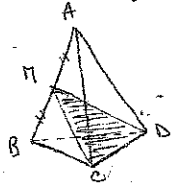
Théorème 1: Soit  $T$  un tétraèdre régulier alors  $Is(T) \cong \mathcal{S}_4$  et  $Is^+(T) \cong \mathcal{A}_4$ .

démonstration:

1) Soit  $T := ABCD$  un tétraèdre régulier. Soit  $g \in Is(T)$  une isométrie du tétraèdre, alors  $g$  conserve les distances donc  $g$  laisse stable  $\mathcal{S} = \{A, B, C, D\}$ .

Faisons donc agir  $Is(T)$  sur  $\mathcal{S}$ :

$$\varphi: \begin{cases} Is(T) & \longrightarrow & \mathcal{S}(A, B, C, D) \cong \mathcal{S}_4 \\ f & \longmapsto & \begin{pmatrix} A & B & C & D \\ f(A) & f(B) & f(C) & f(D) \end{pmatrix} \end{cases}$$



2)  $\varphi$  est un homomorphisme car les isométries conservent les distances.

3) Montrons que  $\varphi$  est fidèle (injectivité):

Soit  $f \in Is(T)$  telle que  $\varphi(f) = id_{\mathcal{S}}$ . Alors l'application affine  $f$  fixe le repère affine  $\mathcal{S} = \{A, B, C, D\}$  donc  $f = id_{\mathbb{R}^3}$ .

Ainsi  $\varphi$  est injectif:  $Is(T) \hookrightarrow \mathcal{S}_4$ .

4) Montrons que  $\varphi$  est surjectif:

Soit  $N$  le milieu de  $[AB]$ , la réflexion par rapport au plan  $NC D$  laisse fixe  $C$  et  $D$ , et permute les sommets  $A$  et  $B$ .

Ainsi la permutation  $(A, B)$  a un antécédent par  $\varphi$ . De même, on montre que toutes les permutations de  $\mathcal{S}(A, B, C, D)$  sont dans  $\varphi(Is(T))$ .

Or  $\mathcal{S}_4$  est engendré par les permutations donc  $\varphi(Is(T)) = \mathcal{S}_4$ .

Ainsi  $\varphi$  est surjectif:  $Is(T) \cong \mathcal{S}_4$ .

5)  $Is^+(T)$  est un sous-groupe d'indice 2 dans  $Is(T)$ . En effet, soit  $g \in Is(T)$

alors l'application  $\begin{cases} Is^+(T) & \longrightarrow & Is^-(T) \\ f & \longmapsto & f \circ g \end{cases}$  est bijective et  $\mathcal{A}_4$  est le seul

sous-groupe d'indice 2 de  $\mathcal{S}_4$  donc  $Is^+(T) \cong \mathcal{A}_4$ .

Théorème 2: Soit  $K$  un cube alors  $Is(K) \cong \mathcal{S}_4 \times \mathbb{Z}/2\mathbb{Z}$  et  $Is^+(K) \cong \mathcal{S}_4$ .

démonstration:

1) Montrons que  $Is(K) \cong Is^+(K) \times \mathbb{Z}/2\mathbb{Z}$ . Il ne nous restera plus qu'à montrer que  $Is^+(K) \cong \mathcal{S}_4$ .

Soit  $O$  le centre du cube  $K$  et  $g \in Is(K)$ . Comme les isométries laissent stable les barycentres,  $g(O) = O$  en tant qu'isobarycentre de  $K$ .

Soit  $s_0$  la symétrie de centre  $O$ . Si on vectorialise notre espace en  $O$ , l'application linéaire associée à  $s_0$  est  $-\text{Id}$  et donc  $s_0 g = g s_0$ . Ceci étant

véridique pour tout  $g \in Is(K)$ , l'application  $\begin{cases} Is(K) & \longrightarrow & Is^+(K) \times \mathbb{Z}/2\mathbb{Z} \\ g & \longmapsto & \begin{cases} (g, 1) & \text{si } g \in Is^+(K) \\ (g s_0, 0) & \text{sinon} \end{cases} \end{cases}$  est bijective.

2) Les grandes diagonales du cube sont les segments de longueur maximale reliant deux sommets du cube. Il y en a exactement 4. On les note  $D_1, D_2, D_3, D_4$ .  
 Soit  $g \in \text{Is}^+(K)$ ,  $g$  conserve donc les distances et laisse stable  $\mathcal{D} = \{D_1, D_2, D_3, D_4\}$ .  
 Faisons donc agir  $\text{Is}^+(K)$  sur  $\mathcal{D}$ :

$$\psi: \text{Is}^+(K) \longrightarrow \mathcal{S}(\mathcal{D}_1, \mathcal{D}_2, \mathcal{D}_3, \mathcal{D}_4) \simeq \mathcal{S}_4$$

$$g \longmapsto \begin{pmatrix} D_1 & D_2 & D_3 & D_4 \\ g(D_1) & g(D_2) & g(D_3) & g(D_4) \end{pmatrix}$$

3)  $\psi$  est un homomorphisme car les isométries conservent les distances.

4) Montrons que  $\psi$  est fidèle:

Soit  $g \in \text{Is}^+(K)$  telle que  $\psi(g) = \text{id}_{\mathcal{D}}$ , c'est à dire  $g(D_i) = D_i \quad \forall i \in \llbracket 1; 4 \rrbracket$ .  
 Donc  $g$  permute  $A_i$  et  $B_i$  ou les laisse fixes tous les deux, et ce pour tout  $i$  de 1 à 4.

.) Supposons que  $g(A_1) = A_1$  et donc  $g(B_1) = B_1$ , et  $g(D_i) = D_i \quad \forall i \in \llbracket 2; 4 \rrbracket$ .  
 Comme  $A_1 A_2 \neq A_1 B_2$  et que  $g$  est une isométrie, on a  $g(A_2) = A_2$  et  $g(B_2) = B_2$ . De même  $g(A_4) = A_4$ .

Ainsi  $g$  préserve le repère affine  $(A_1, A_2, B_2, A_4)$ , donc  $g = \text{id}_{\mathbb{R}^3}$ .

.) Supposons que  $g(A_1) = B_1$  et donc  $s_0 \circ g(A_1) = A_1$ . D'après ce qui précède,  $s_0 \circ g = \text{id}_{\mathbb{R}^3}$ . Or  $s_0 \in \text{Is}^-(K)$ ,  $g \in \text{Is}^+(K)$  et  $\text{id}_{\mathbb{R}^3} \in \text{Is}^+(K)$ .

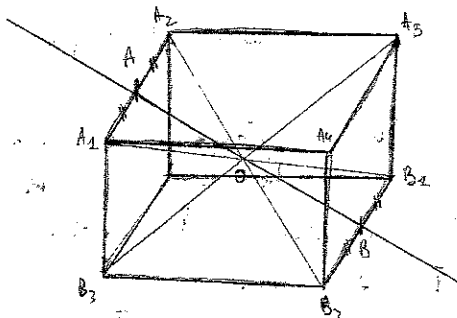
On a donc une contradiction.

Ainsi,  $\psi$  est injectif:  $\text{Is}^+(K) \hookrightarrow \mathcal{S}_4$ .

5) Montrons que  $\psi$  est surjectif:

Soit  $A$  milieu de  $[A_1 A_2]$  et  $B$  milieu de  $[B_1 B_2]$ . La rotation d'angle  $\pi$  autour de l'axe  $(AB)$  laisse stable  $D_3$  et  $D_4$  et permute  $D_1$  et  $D_2$ .  
 La permutation  $(D_1; D_2)$  a donc un antécédent par  $\psi$ . Il en va de même pour toutes les permutations, or  $\mathcal{S}_4$  est engendré par les permutations, donc  $\psi$  est surjectif.

Finalement  $\text{Is}^+(K) \simeq \mathcal{S}_4$  et donc  $\text{Is}(K) \simeq \mathcal{S}_4 \times \mathbb{Z}/2\mathbb{Z}$ .



$$D_i = A_i B_i \quad \forall i \in \llbracket 1; 4 \rrbracket$$